

# ISDN 스위치에서의 D 채널 액세스 프로토콜 구현에 관한 연구

° 김명석, 정희창, \*김영길, 임주환

한국전자통신연구소, \* 아주대학교

## A Study on the Implementation of D-Channel Protocol in ISDN Switch

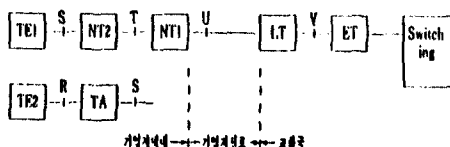
Myeong Seok Kim, Hee Chang Chung\*, Young Kil Kim, Chu Hwan Yim  
Electrics and Telecommunication Research Institute \*Ajou University

### ABSTRACT

This paper describes the schematic feature of ISDN switch for basic access and evaluates D-channel access protocol with CSMA/CD scheme in ET side. In order to implement basic access in ISDN switch, the functions of each module are defined and the delay vs. throughput characteristics for the our dealing CSMA/CD channel is derived using the embedded Markov chain and used to demonstrate the performance achievable with system parameters, which are, IES, TD and ST time and packet size.

### 1. 서 론

종래 정보통신망 (ISDN) 에서 음성 및 비음성 서비스를 제공하는 디지털 통신 기술은 CUITT를 중심으로 한 표준화 노선이 가중되고 있다. ISDN의 구조는 개인계와 유무선하는 서비스를 포함할수록 깨끗하기 위해 ISDN 가입자 링간 인터페이스를 서비스에 따라 기기의 액세스 포인트 (reference access point)에 대한 가능성을 정의함으로써 기존의 전화부 단말은 물론 새로운 ISDN 단말을 액세스할 수 있다. ISDN 망·가입자 접속 시스템의 구성을 그림1에서 나타내었다.



+ : Reference Point      TA : Terminal Adaptor  
□ : Functional Grouping    LT : Line Termination  
NT : Network Termination    ET : Exchange Termination  
TE : Terminal Equipment

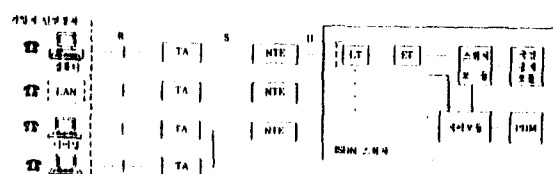
[그림1] ISDN 망·가입자 접속 시스템의 구조도

[그림1]에서 나타낸 기본 액세스 구조는 2개의 64Kbps B 채널과 1Mbps D 채널로 구성되는 데, B 채널은 음성 및 보조의 데이터를 전송하며 D 채널은 전후 정보와 기속의 데이터를 전송한다. 전송장로 (D 헤더 메시지) 통하여 전송중인 정보 (Line Termination)에 전달된 이후 메시지는 ATM 단위 페리페리 (ISDN Oriented Module Interface) 또는 bit serial 동기식 인터페이스를 통하여 데이터와 마이크 신호를 교환

한다. ET 에서는 B 채널 정보를 분리하여 D 채널 정보는 고속의 공통 채널인 CSMA/CD 채널을 통하여 D 채널의 스위칭을 위한 전후 정보와 매킷 정보를 송수신한다. 본고의 목적은 디지털 스위칭 시스템 (이후 ISDN 스위치)의 구조적인 기능을 살펴보고 ISDN 망 가입자 접속 시스템의 구조부 풋 ET 에서의 스위칭을 위한 정보를 송수신하기 위하여 범용 액세스 통신 방식의 일종인 CSMA/CD 통신 프로토콜 이용한 시스템 설계를 분석한다.

### 2. 시스템 구성

[그림2]에서 나타난 가정처들은 기본기능 단위로 분리되어 나열된 것으로, 쉽게 기본기능 단위 별개가 하나의 장치로 구현될 수 있다. 그림2는 "2B + D" 형태의 서비스를 위해 NT1과 NT2의 기능을 NTE라는 장치에 합쳐진 것을 볼 수 있다. 그림2에서 구상되는 장치는 기존 단말 장치를 접속하는 TA 와 "2B+D"의 디지털 정보를 전송하는 가입자 접속 장치 및 2진 가입자 신호 풋에 가입자와 교환기관에 "2B+D" 정보를 송수신하고 D 채널 매킷 신호 정보를 이용하여 회선 교환 기능을 처리하는 ISDN 스위치로 구성된다.



[그림2] ISDN 망·가입자 시스템의 기본 구성도

ISDN 스위치는 가입자 접속 시스템을 완성하기 위하여 가입자 모듈, 제어모듈 및 매킷 핸들링 모듈로 구성되며 주요 기능은 다음과 같다.

#### 1) 가입자 모듈 (Digital Subscriber Module)

가입자 모듈은 회선 중단장치 (LT)와 교환 중단장치 (ET)로 구성된다. 회선 중단 장치는 2진 가입자 신호를 통하여 "2B+D" 정보를 송수신 하도록 하는 장치이며 교환 중단 장치는 회선 중단 장치에서 송수신한 "2B+D" 정보를 디코드 및 암다코드하여 교환 기록의 스위치 모듈과 D 채널 제어 모듈에 인터페이스 되도록 한다.

## 2) 스위치 모듈(Switch Module)

스위치 모듈은 IEEE 802.3을 기반한 serial 2.0MBPS를 다른 차이로 교환기 풍향에 따라 bit rate를 결정하여 1Mbps(64Mbps), 10Mbps(10Mbps) 스위치 모듈로 한다. 그린 스위치 모듈은 스위치 모듈은 스위치 모듈에게 일련의 프레임이나 패킷을 전송하거나(회전이나 패킷보내기), 다른 기종에 스위치 모듈에게는 PGM(간속장치)(예: 23BPD, 30BPD)로 구현된다.

## 3) 케이스 모듈(Control Module)

케이스 모듈은 가상의 모듈에게 출수한 비트를 D 케이스(진호 및 예외) 정보, 시간에 따른 출수한 비트를 진호 정보, 출수된 진호 및 진호 및 예외 모듈을 처리하여 또한 진호 정보에 따른 스위치 모듈을 케이스 모듈에게는 케이스 모듈은 분산화하여 별도으로 구현된다.

## 4) 패킷 핸들링 모듈(Packet Handling Module)

매개 핸들링 모듈은 R 케이스나 D 케이스의 매개 정보를 처리한다. 이 모듈은 매개 형태의 정보를 store and forward 즉, 위험 범위으로 정보를 교환하며, 회선 스위치를 통해 출수하는 가상의 정보를 관리한다.

## 3. D 케이스 액세스 프로토콜

ISDN에서 회선 교환이 이루어지기 위해서는 D 케이스 정보가 반드시 ISDN 스위치의 스위치 모듈에서 처리되어 가상의 모드 정보를 처리하여 사용되지 않는 회선에 환경되어야 한다. 또한 매개 교환기 정보를 부여하기 위하여 매개 핸들링 모듈에게 처리하여, ISDN의 회선 교환기와 외부의 매개 교환기 간 트렁크 혹은 전용 링크를 통하여 인터페이스 매개 교환기들이 외부의 매개 노드 교환기에 위하여 이루어 진다. 이정에서는 기본 액세스 정보 즉, 회선 교환을 위한 진호 정보와 매개 교환을 위한 매개 정보를 처리하기 위한 ET 측에서의 CSMA/CD 케이스 액세스 프로토콜을 살펴본다.

## 4) CSMA/CD 전송 프로토콜

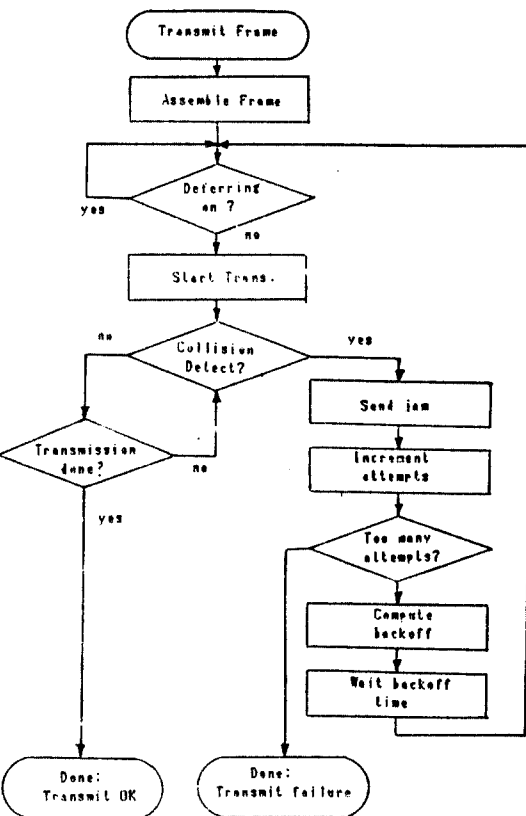
CSMA/CD 전송 프로토콜은 대기 티머단 (전송화, 매개 및 기관 티머단)은 전송 채널의 상태를 감지하여 채널이 대기 티머단 전송하기 전에 임의한 시간 동안 전송을 지원한 후 전송하는 데 이는 임의적으로 매개를 수신할 때 필요한 최소 프로세스 시간으로 이를 Interframe Space (IFS)라 한다. 향상된 액세스 방식의 일종인 CSMA/CD 방식은 항상 충돌이 발생될 가능성이 있으므로, 충돌이 발생하면 모든 티머단은 jamming 신호를 충돌하여 개진출 시장을 길질하는 개진출 프로토콜에 의하여 그것들을 제거한다. 이정에서는 다음과 같은 3가지 경우에 대하여 개진출을 길질하게 된다.

- <점차1> 전송이 성공한 후 각 대기 티머단은 IFS 후 티머단으로 채널에 액세스한다.
- <점차2> 충돌이 감지되면 각 대기 티머단은 충돌 하수기 k(교환기 대 0.5)의 차를로 습니다. 시전에 예제로 하면 그 매개는 더 이상 대기해 액세스에 가기 않고 버린다.
- <점차3> 각 대기 티머단은 충돌 하수기 Nmax를 초과 하면 그 매개는 더 이상 대기해 액세스에 가기 않고 버린다.

위의 CSMA/CD 충돌 방식의 확률 모형은 표1에 제시된다.

## 2) CSMA/CD 프로토콜의 활동문서

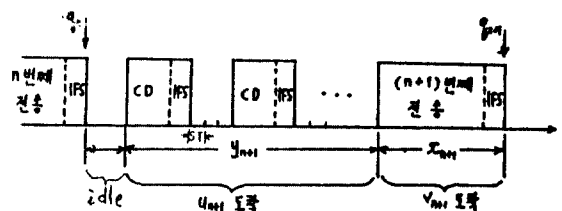
이 절에서는 표1에서 기술한 CSMA/CD 전송 프로토콜을 유형으로 모색해 시간 축의 특성을 해석한다. 이를 위하여 어떤 충돌에서 전송한 매개는 가진 티머단이 전송에 성공한



(그림1) CSMA/CD 전송 프로토콜의 흐름도

모든 시스템내의 전송 대기터미널의 수와 무관하게 일정한 접수자는 적절한 직류 알고리즘을 가짐한다. 이러한 가짓은 관리적인 해석 방법이나 전송 속도를 시스템내의 대기 티머단에 주어 적절한 전송 프로토콜을 사용하는 시스템에서 터당함을 여러 시뮬레이션의 결과에서 보여주고 있다.[3,4]

또한, 여기서는 향상된 진폭에 기인하는 예리는 충돌에 기인한 예리에 비하여 무시될 수 있으며, 무한한 티머단이 공유 채널을 공유할 경우 트래픽 소스의 도착률은 초당 1의 평균을 발생시키는 확률 포아송 프로세스라 가정한다. 이 티머단은 매개를 저장하는 바피가 있고, 한 번에 하나만의 매개를 전송할 수 있으며 각 매개의 전송시간은 확률 분포  $\text{Exp}(x)$ 와 평균값이  $\lambda_{\text{avg}}$ 와 그에 2차 모멘트가  $\lambda_{\text{avg}}^2$ 인 독립 향상된 변수라 한다. 대기 티머단은 공통 채널을 통하고 있어서 충돌을起こ하고 충돌되는 모든 단위를 규정하는 확률을 계산할 수 있다. 여기서는 분산된 큐의 평형 상태 모델로 변성 함수 (equilibrium moment generatingfunction)를 이용하여 시스템의 유동 해석한다. 시간 축 상에서 CSMA/CD 채널에서 나타내면 그림3과 같다.



(그림3) 시간 축에서의 CSMA/CD 채널

우선 해석을 위한 랜덤 변수를 아래와 같이 정의한다.

- $\eta_n$ : n번째 전송이 성공한 후 대기 대비군의 수
- $\eta_{nH}$ : n번째 전송후 다음 전송이 성공한 때 까지의 시간
- $\eta_{nH1}$ :  $\eta_{nH}$  동안의 세로운 도착 수
- $\eta_{nH2}$ : n번째 전송을 위한 시간
- $\eta_{nH3}$ :  $\eta_{nH1} + T_{IFS}$  동안 도착한 세로운 도착 수

$V(z)$ 는  $\eta_{nH3} + T_{IFS}$ 의 pdf라 할 때, 이의 관계식은 (1)과 같다.

$$V(z) = x(s)e^{-\lambda T_{IFS}}$$

이미, 랜덤 변수  $y_n$ 는 2가지 랜덤 시간 구간의 합으로 표현된다.

$$\eta_{nH} = (\eta_{nH1} + \eta_{nH2})$$

이기에서  $y_n$ 는 한 습동의 치수간을 나누겠다.

$\eta_{nH2}$ 는 n번째 전송이 성공한 후에 대기 대비군의 수동의 수를 나타내며  $\eta_{nH1}$ 은 다음 전송이 성공한 때 까지의 경위 기간의 습동 수를 나타낸다. 위의 그림 3으로부터

$$\eta_{nH1} = \eta_n + \eta_{nH2} - \eta_{nH3} \quad (1)$$

이 중요한 관계식을 인용할 수 있다.  $\eta_n(z)$ 는 차분 확률 함수  $\eta_n$ 에 대한 z-변환이라 하면

$$\eta_n(z) = \sum_{k=0}^{\infty} p(\eta_n = k)z^k \quad (2)$$

이미, 대기 대비군의 확률은  $\eta_n(z)$ 이며, 그에 따른 확률은  $\eta_n(z)$ 이다. 따라서 예상의 경우 수를 구하기 위하여 (1)의 양변에 맹고유 적용하면

$$\begin{aligned} E(z^{\eta_{nH1}}) &= E(z^{\eta_n + \eta_{nH2} + \eta_{nH3}}) \\ &= E(z^{\eta_n} E(z^{\eta_{nH2}}) V(z)) \end{aligned} \quad (3)$$

이기자  $E(z^{\eta_n})$ 는 대기 대비  $\eta_{nH}$ 은  $\eta_n$ 과 동일한 성질을 나타내며  $\eta_{nH}$ 은  $\eta_n$ 과 동일한 확률 분포 함수 이므로  $E(z^{\eta_n}) = \eta_n(z) = V(z)$ 로 표현 된다. 전송이 성공 후 대기한 기간은

$$\text{Prob}[\eta_{nH} = k | \eta_n = 0] = (1 - r)^k \quad , \quad k = 1, 2, \dots$$

이미, 평균의 정의로 부터

$$E(z^{\eta_{nH2}}) = p(\eta_n = k) E(z^{\eta_{nH1}} | \eta_n = k) \quad (4)$$

로 표현되며 n>2인 경우 앞의 가정으로 부터

$$E(z^{\eta_{nH1}} | \eta_n = k) = U(z) \quad (5)$$

라 정의하면 결국 맹장식 (4) 은

$$\begin{aligned} E(z^{\eta_{nH1}}) &= p(\eta_n = 0) E(z^{\eta_{nH1}} | \eta_n = 0) \\ &\quad + p(\eta_n = 1) E(z^{\eta_{nH1}} | \eta_n = 1)z \\ &\quad + \left\{ \sum_{k=2}^{\infty} p(\eta_n = k) E(z^{\eta_{nH1}} | \eta_n = k)z^k \right\} U(z) \end{aligned} \quad (6)$$

이 되며 결과

$$U(z) = \left\{ Q_0 U(z) + r Q_1 U(z) + \left( \sum_{k=2}^{\infty} Q_k z^k \right) U(z) \right\} U(z) + \frac{V(z)}{z} \quad (7)$$

가 된다. 여기서

$$Q_n = \lim_{n \rightarrow \infty} p(\eta_n = k) , \quad k \geq 0$$

$$U_0(z) = \lim_{n \rightarrow \infty} E(z^{\eta_{nH1}} | \eta_n = 0)$$

$$U_1(z) = \lim_{n \rightarrow \infty} E(z^{\eta_{nH1}} | \eta_n = 1)$$

이다. 즉 (7) 을 다시 보면

$$U(z) = \frac{\{Q_0 [U_0(z) - U(z)] + Q_1 z[U_1(z) - U(z)]\} V(z)}{z - V(z)U(z)} \quad (8)$$

로 표현된다. 이제  $Q_0(z)$ 을 구하기 위하여 필요한 값은  $Q_0$ ,  $U_0(z)$ ,  $U_1(z)$ ,  $V(z)$  그리고  $U(z)$ 이다. 여기서  $U_0(z)$ ,  $U_1(z)$  그리고  $U(z)$ 는  $\eta_n$ 의 상태에 따라 해석할 수 있다.

(1)  $\eta_n = 0$ ,

$$Q_{nH} = \begin{cases} 1 & (j : \text{경화 기간 동안 도착한 수}) \\ j & \frac{C_j}{1-C_0} \end{cases}$$

(2)  $\eta_n = 1$ ,

$$Q_{nH} = 0,$$

(3)  $\eta_n = 2$ ,

$Q_{nH}$  : 경화기간 동안 도착한 수

여기서  $C_j$ 는  $T_{IFS}$ 동안에  $j$ 개의 세로운 도착이 있을 확률로지

$$C_j = \frac{(\lambda T_{IFS})^j e^{-\lambda T_{IFS}}}{j!}$$

로 표현된다. 종류가 반복한 경우, 경화 기간 동안 도착한 세로운 도착수는  $z$ -변환  $U(\lambda - \lambda z)$ 를 갖는 특별 랜덤변수이다. 앞의 가정으로 부터

$$\text{Prob}[\eta_{nH} = k | \text{총동 맹집}] = S(z)z^{k-1},$$

$k = 1, 2, \dots$

이 되며, 앞의 해석 결과의 경화 기간동안의 도착한 도착수에 대한 z-변환은

$$U(z) = \frac{S(z)z^{-1}e^{-\lambda(z-1)T_{IFS}}}{1 - (1-S)z^{-1}e^{-\lambda(z-1)T_{IFS}}} \quad (9)$$

이고, 또한  $U_1(z)$ 은 0이 아님

$$U_1(z) = \frac{Q_1}{1 - (1-S)z^{-1}e^{-\lambda(z-1)T_{IFS}}} \cdot \frac{1}{z} \cdot (e^{\lambda T_{IFS}} c_0 / Q_1) \cdot U(z) \quad (10)$$

으로 부터 구할 수 있다.  $c_0$ 와  $Q_1$ 은 각각 다음의 식으로부터 유도할 수 있다.

$$Q_1(1) = 1 \quad (11)$$

$$\begin{aligned} U(z) &= \frac{Q_0 U(z) + r Q_1 U(z) + \left( \sum_{k=2}^{\infty} Q_k z^k \right) U(z)}{z - V(z)U(z)} \\ &\quad + \frac{V(z)}{z} \end{aligned} \quad (12)$$

이제 식(8)에서 주어진  $D(x)$ 을 완전히 찾기 어렵지만  
제네랄 채널의 평균 패킷의 수는

$$\frac{4D(x)}{x} = \frac{4}{x} \cdot \frac{1}{1 - e^{-\lambda t}} \quad (13)$$

로 표기한 그림은 아래와 같다. 여기서  $\lambda$ 는 채널에 대한 평균 충돌률이며 제네랄 채널의 평균 패킷의 수는 Little's formula 을 사용하여 알 수 있다.

$$\bar{n} = \frac{\lambda}{\lambda - \mu} \quad (14)$$

이제 2번의 간격이  $T_{slot}$  후 대기 티머들이 전송될 때까지 제네랄 채널 평균 기다림시간은  $\bar{n}T_{slot}$ 이다 하면

$$d = \lim_{N \rightarrow \infty} \frac{1}{N} \sum_{n=1}^N \bar{n} T_{slot}$$

로 찾아지며, 다음 과정이 가능해진다.

$$\text{Probability} = \Pr[T_{slot}] = \begin{cases} 0, & \alpha = 0, \beta = 0 \\ 1 - e^{-\alpha}, & \alpha > 0, \beta = 0 \\ \left(1 - \frac{\alpha}{\beta}\right) e^{-\alpha} + \frac{\alpha}{\beta} \sum_{k=1}^{K-1} S(k) S(k), & \alpha > 0, \beta > 0 \\ 0, & \alpha = 0, \beta > 0 \end{cases} \quad (15)$$

여기서  $T_{slot}$ 는 충돌 후 재전송 시점의 최초 시기간을 나타낸다. 따라서 구하는 평균 제네랄 채널 시간은 다음과 같다.

$$d = \frac{1}{S} \left( 1 - \frac{\alpha}{\beta} \right) \frac{\alpha}{1 - e^{-\alpha}} T_{slot}$$

이 된다.

#### 4. 결론 및 고찰

이 장에서는 앞 장에서 제시한 결과를 패킷의 평균 길이  $v$ 에 대한 시스템 파라미터 CD, CES 및 ST의미를 성능 해석 파라미터로 각각  $\alpha$  및  $\beta$  그리고  $\gamma$ 라 하면

$$\alpha = \frac{T_{slot}}{v_i}, \quad \beta = \frac{T_{res}}{v_i}, \quad \gamma = \frac{T_{slot}}{v_i}$$

로 정의된다. 별명 상태에서 CSMA/CD 채널의 throughput은  $\rho = \lambda v$ 로 표현된다. 해석을 간단히 하기 위하여 초기 프로세스를 표기한 평균을 따르며, 패킷의 전송 시간은 일정한 경우를 갖는다고 가정하였다. 그림 1에서는 선형 해석 파라미터 및 큐 변수로 차이 시간 지연 특성을 나타내고자, 이러한 주제 해석이 경계에서 경계가 있는 전송 시작점에서 전송이 실현화 학습  $S$ 가 started. Alpha 및 전송 방식에서의 최대 throughput인  $1/\alpha$ 를 예상하고 가정한다.

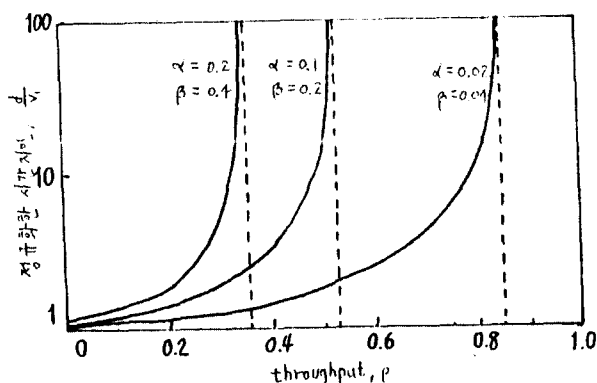


그림 1 평균 시간 지연 특성

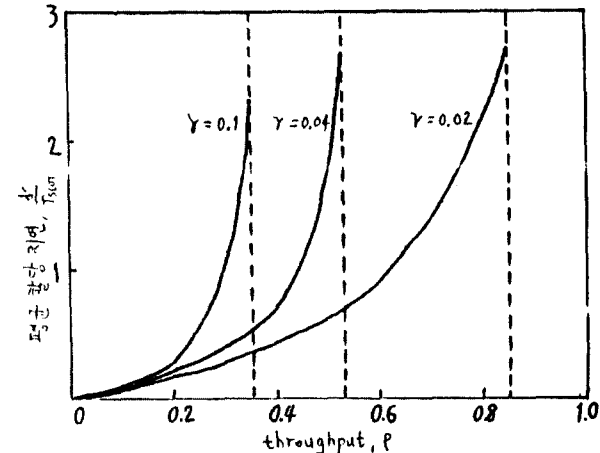


그림 2 평균 채널 차인 특성

그림 3에서는 선형 해석 파라미터인  $\alpha$ 와  $\beta$ 의 합수로써 평균 채널 차인 특성을 해석하였다. 그림에서 보이듯 바와 같이 트래픽이 낮을 경우 평균 채널 차인시간은 0으로 가능성을 갖게 있는 데, 이는 액세스 프로토콜의 1정지(1 idle)에서 주어진 바와 같이 대기 티머들이 전송 1의 확률로서 제네랄 티머니에 액세스하기 때문이다. 결과에서의 해석은 3장에서 언급한 전송 1의 확률로서 해석하였으나 정확한 해석의 경우, 결과를 단순화 형태(closed form)로 나누면 수 없으며, 이러한 시뮬레이션의 결과에서 이러한 해석 방법이 타당함을 보여 주고 있다.

#### 5. 결론

본 장에서는 CCITT 국제 권고안에 따라 D 채널 프로토콜(Layer 2) 주된 CSMA/CD 프로토콜 통신 방식을 이용하여 기속의 매크로 및 미세 교환 정보를 처리할 수 있는 ISDN 스위치의 기동률 구조적으로 설명하고 이를 이용하여 D 채널 액세스 프로토콜에 대한 시간 지연 특성을 유일하게 해석하였다. 해석의 결과를 이용하여 구성한 시스템의 트래픽을 분석함으로써 평균 사용 유통 시간을 만족하는 회선 교환을 위한 신호정보와 상대적으로 트래픽 양이 많은 저속의 매크로 정보를 처리하는 데는 시간 지연 특성을 갖는 시스템을 구현할 수 있다.

#### (참고 문헌)

- CCITT I-series Recommendation (SG XVIII 384)
- CCITT Q.920, Q.921, Q.931 Recommendation (SGXI 1986, Geneva).
- S. S. Lam, "A Carrier Sense Multiple Access Protocol for Local Networks", CN4, pp.21~pp.32, 1980.
- J.-S. Meditch and C.-A. Lee, "Stability and Optimization of the CSMA and CSMA/CD Channels
- 손동원, 김경택, 정희철, "ISDN 서비스를 위한 가입자 전송 시스템", 전자통신 pp.50~pp.57, 1988년 1월

본 연구는 한국전기통신공사 출연금에 의한 연구 결과임.